

## II-36

## 低反射型消波構造物に関する研究

日本文理大学 正員 ○竹光 義信

〃 〃 榎田 操

〃 〃 金子 哲男

## 1. はじめに

近年、遊水部をもつ消波構造物が多く研究開発され、実用に供される様になった。筆者らは、これら消波構造物がその寸法に比して長い枚長の波の消波に有効な点を鑑み、専ら長波理論によって水理特性の解析を試みた。その結果これから遊水部をもつ消波構造物における流体運動は極めて単純な振動問題に帰着し、ヘルムホルツ共鸣器による吸音と同様な動作原理によつて波のエネルギーを吸収している事を見出すに至つた。さらに、この事を利用して長波における一層消波効果の高い消波構造物の開発を試みた。

## 2. 理論

## a) 遊水部が自由水面となつてゐる場合

図-1に示すような型式の消波構造物の透過壁(開口率入の有孔壁)の幅を  $l$ 、遊水部の幅を  $D$  とし、その背後には透壁壁があり、水深は  $h$  で一定とする。座標軸を図のようにとり、領域を 3 分割する。すなわち、 $x=0$  を領域 I(堤外域)、 $-l \leq x \leq 0$  を領域 II(透過壁側)、 $(-D+l) \leq x \leq l$  を領域 III(遊水部)とする。波は波長  $L$  が遊水部幅  $D$  に比して十分に長く長波理論に従うものとする。波の周期は  $T$  とする。

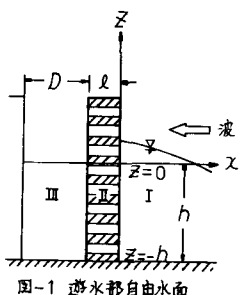


図-1 遊水部自由水面

$$\eta(x; t) = a \cos(kx + \omega t) + b \cos(kx - \omega t), k = \frac{2\pi}{L} (\text{波数}), \omega = \frac{2\pi}{T} (\text{周波数}) \quad (1)$$

この水面波形に対応する流体の水平流速は、入射波振幅を  $a$ 、反射波振幅を  $b$  として次式で与えられる。

$$u_i(x; t) = -(\frac{\partial \eta}{\partial x}) \{ a \cos(kx + \omega t) + b \cos(kx - \omega t) \} \quad (2)$$

また長波では  $kh \ll 1$  なる故、 $kh \approx \sqrt{gh}/g$ 。あるいは、 $\sqrt{gh} \approx \sqrt{g}h$  ( $g$  は重力の加速度) なる関係を得られる。領域 I では  $D \ll L$  となつてるので、水面波形は  $x$  に関係なく、一様であると考えられるが未知関数とする。領域 III においては Darcy の流れを仮定し、流体の抵抗が流速  $u_2$  に比例するものとして、その抵抗係数を  $\mu$ 、流体密度を  $\rho$  とすると、次の様な運動方程式が得られる。(  $u$  は流量流速)

$$\frac{1}{\lambda} \frac{\partial u_2}{\partial t} = -\frac{1}{P} \frac{\partial P}{\partial x} - \mu u_2 \quad (3)$$

流体圧力  $P$  は静水圧的で、右辺第一項の圧力勾配は、 $\frac{\partial P}{\partial x} = \rho g \{ \eta(0; t) - \eta_0(t) \}/h$  と近似し、流体移るの任意時刻の変位  $\eta_0$  を用いて  $(\frac{\partial \eta}{\partial x})_{t_0} = u_2$ 、 $D\dot{\eta}_0 = -\dot{u}_2$ 、方程式(3)は次のようになります。

$$\frac{d^2 \eta_0}{dt^2} + \mu \lambda \frac{d^2 \eta_0}{dx^2} + (\rho g/h) \eta_0 = -(\frac{\rho g}{h}) a (1 + kx) \cos \omega t, k_x = b/a \quad (4)$$

これは明らかに強制振動の方程式である。消波構造物内の流体が構造物外における流体運動を外力として、強制振動を行うと解釈する事が出来る。方程式(4)の解は次式で与えられる。

$$\eta_0(t) = \eta_0 + \eta_p, \eta_0: \text{余関数}, \eta_p: \text{特解}$$

$$\eta_0 = \eta_0 e^{-\delta_1 t} \cos(\sqrt{\alpha^2 - \omega^2} - \delta_1 t), \eta_0 = \sqrt{A^2 + B^2}, \delta_1 = \tan^{-1}(B/A) \quad (5)$$

ここで  $A, B$  は複素積分定数である。また、 $\alpha = \sqrt{\lambda}/2$ ,  $\omega_0 = \sqrt{\lambda g h / D}$  とする。

$$\eta_p = \frac{-(D_h) a (1 + kx)}{\sqrt{[1 - (\eta_0)^2]^2 + 4(\eta_0)^2(\rho g/h)^2}} \cos(\omega t - \delta_2) \quad (6)$$

$$\cos \delta_2 = \frac{1 - (\eta_0)^2}{\sqrt{[1 - (\eta_0)^2]^2 + 4(\eta_0)^2(\rho g/h)^2}}, \sin \delta_2 = \frac{2(\eta_0)(\rho g/h)}{\sqrt{[1 - (\eta_0)^2]^2 + 4(\eta_0)^2(\rho g/h)^2}}$$

しかしながら、式(5)の式は減衰振動で、十分な時間の経過後は消滅する項であり、 $t \rightarrow \infty$  では  $\dot{\theta} = \theta_0$  となる。なお、方程式(4)は、 $\alpha$ 、 $\beta$  を用いて次のように書きかえられる。

$$\frac{d^2\theta}{dt^2} + 2\alpha \frac{d\theta}{dt} + \beta^2 \theta = -(\theta_0) \theta_0^2 \alpha (1+K_R) \cos \omega t \quad (7)$$

次に領域 I と領域 II における mass-spring の連続性から  $U_1(0; t) = U_2(t)$  となり、 $U_1(0; t) = -(\theta_0) \theta_0^2 \alpha (1+K_R) \cos \omega t$  および、 $U_2(t) = \frac{dU_2}{dt} = (\theta_0) \theta_0^2 \alpha (1+K_R) \sin(\omega t - \delta_0) / \sqrt{[1 - (\theta_0)^2]^2 + 4(\theta_0)^2 (\theta_0)^2}$  を等置し、これかたの如何に拘らず成立しなければならない事を利用して  $K_R$  に関する 3 次式が得られる。

$$K_R = \frac{\sqrt{Dl/\alpha} [1 - (\theta_0)^2]^2 + 4(\theta_0)^2 (\theta_0)^2] - 2D(\theta_0)(\theta_0)^2}{\sqrt{Dl/\alpha} [1 - (\theta_0)^2]^2 + 4(\theta_0)^2 (\theta_0)^2] + 2D(\theta_0)(\theta_0)^2} \quad (8)$$

### b) 遊水部静水面に水平有孔版を固定した場合

遊水部静水面に固定した水平有孔版の開口率は、鉛直有孔壁と同一である、厚さは  $d$  である。運動方程式(7)において  $\sigma_0 = \sqrt{gh/Dl(h+d)}$   $= \sqrt{gh/(Dl+hd)}$  とする。このとき  $K_R$  は次のようになる。

$$K_R = \frac{\sqrt{Dl+hd} [1 - (\theta_0)^2]^2 + 4(\theta_0)^2 (\theta_0)^2] - 2D(\theta_0)(\theta_0)^2}{\sqrt{Dl+hd} [1 - (\theta_0)^2]^2 + 4(\theta_0)^2 (\theta_0)^2] + 2D(\theta_0)(\theta_0)^2} \quad (9)$$

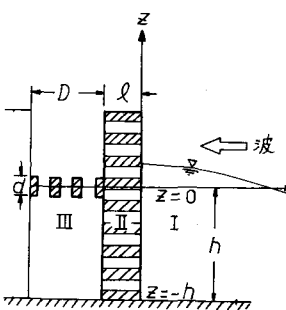


図-2 遊水部静水面に水平有孔版を固定

c) 遊水部水面に浮体版を浮かせた場合  
浮体版は厚さ  $d$ 、比重  $\sigma_0$  とする。このとき  $\sigma_0 = \sqrt{\lambda hg/(l+s_0d)}$  となる。また  $K_R$  は次のようになる。

$$K_R = \frac{\sqrt{(l+s_0d)/\alpha} [1 - (\theta_0)^2]^2 + 4(\theta_0)^2 (\theta_0)^2] - 2D(\theta_0)(\theta_0)^2}{\sqrt{(l+s_0d)/\alpha} [1 - (\theta_0)^2]^2 + 4(\theta_0)^2 (\theta_0)^2] + 2D(\theta_0)(\theta_0)^2} \quad (10)$$

### 3. 計算結果と実験値の比較

以上 a, b, c の 3 種のモデルについて、種々の諸元と条件で実験を行い、計算値との比較を行なつた。各一部を図-4 に示す。

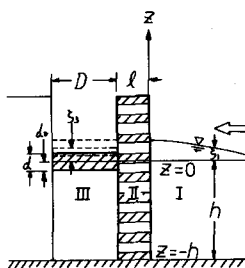
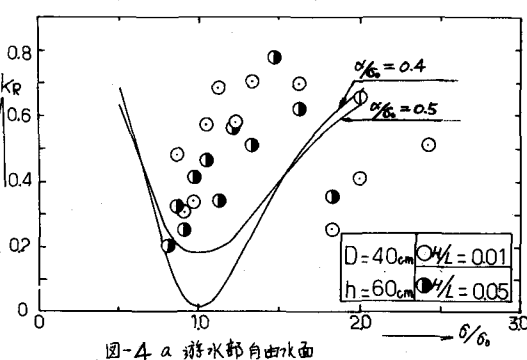


図-3 遊水部水面に浮体版を浮かせたもの



鉛直有孔壁の高  
度はいずれも 20cm  
である。

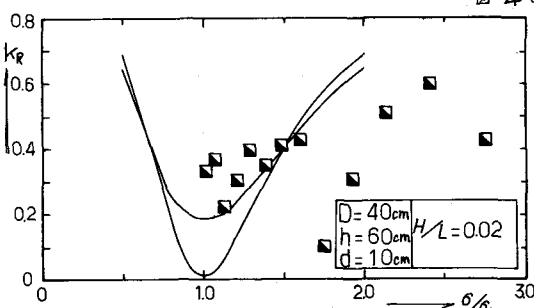


図-4 b 遊水部静水面に水平有孔版を固定

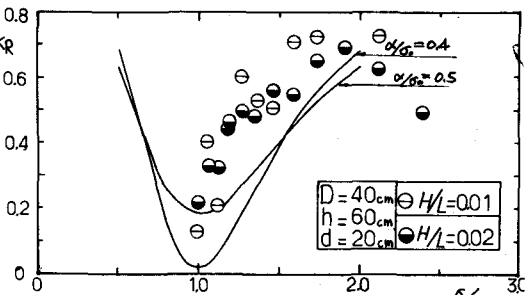


図-4 c 遊水部水面に浮体版を浮かせたもの